Статистические закономерности конструктивных характеристик изгибаемых железобетонных элементов в условиях знакопеременных температур

В.М. Попов, О.А. Яцковец

Санкт-Петербургский государственный архитектурно-строительный университет

Аннотация: действующих нормативных документах ПО проектированию железобетонных конструкций принят ряд условных предпосылок и ограничений, учитывающих специфику сопротивления конструктивных элементов и упрощающих расчет. Одной из них является назначение деформационных свойств бетона как среднестатистических величин, которые наравне с прочностными, определяют диаграммы деформирования материала. Воздействие циклов замораживания и оттаивания бетона (ЦЗО) приводит к деградации его деформационных и прочностных свойств. Характер разрушения изгибаемого железобетонного элемента зависит от прочностных и деформационных свойств бетона и арматуры и коэффициента армирования. В работе исследуются статистические закономерности предельного коэффициента армирования и граничной относительной высоты сжатой зоны бетона в условиях переменного замораживания и оттаивания бетона.

Ключевые слова: циклы замораживания и оттаивания, статистические закономерности сопротивления, железобетон, предельные деформации бетона, обеспеченность, граничная относительная высоты сжатой зоны бетона, коэффициент армирования.

Введение

В северных регионах конструкции из железобетона подвергаются знакопеременных температур. При воздействии влиянию низких попеременного замораживания и оттаивания происходит трансформация диаграммы деформирования бетона при осевом сжатии. При первом замораживании модуль упругости бетона увеличивается, пиковое напряжение увеличивается, а пиковая деформация уменьшается [1-3]. В статье [4] отмечается, что при воздействии циклов замораживания и оттаивания бетона (ЦЗО) его прочность снижается, среднеквадратическое отклонение и коэффициент вариации прочности увеличиваются. Бетон в этом случае характеризуется другим распределением прочности. Переменное замораживание и оттаивание бетона изменяет предельные деформации бетона, влияет на характер деформирования бетона, снижает предельный коэффициент армирования и граничную относительную высоту сжатой зоны бетона [5,6]. Также, при влиянии знакопеременных температур в бетоне наблюдается рост остаточных деформаций расширения, которые приводят к дополнительным напряжениям в арматуре и которые тем меньше, чем больше процент армирования [7]. В статье [8] рекомендуется учитывать неблагоприятное влияние ЦЗО на характеристики бетона либо раздельно по показателям прочности и деформативности, либо интегрально по расчетной величине энергии диссипации. Также, степень снижения модуля упругости и прочностных характеристик бетона при влиянии знакопеременных температур зависит от способа водонасыщения образцов [9]. Работы [10-12] посвящены разработке физико-механической модели разрушения бетона в условиях попеременного замораживания И оттаивания развитию диаграммного метода расчета железобетонных конструкций в условиях низких температур. В работе [13] рассмотрено влияние знакопеременных температур на трансформацию диаграмм деформирования бетона. Влияние технологических факторов на морозостойкость монолитных железобетонных конструкций приведены в статьях [14-16].

Цель и методика исследования

Цель работы — исследовать статистические закономерности предельного коэффициента армирования и граничной относительной высоты сжатой зоны бетона в условиях переменного замораживания и оттаивания бетона.

Методологию настоящей работы составляют методы теории вероятности, математической статистики и численное моделирование напряженно-деформированного состояния изгибаемых элементов железобетонных конструкций.

Описание исследования

В изгибаемых железобетонных элементах возможны три варианта разрушения по нормальному сечению в зависимости от коэффициента армирования продольной арматуры. Первый случай разрушения начинается с появления пластических деформаций в продольной арматуре и заканчивается разрушением бетона в сжатой зоне. Прочностные характеристики арматуры используются полностью. При большом коэффициенте армирования может иметь место хрупкое разрушение, при котором разрушение происходит по сжатой зоне бетона, а напряжения в арматуре не достигают предела текучести. Прочность арматуры в этом случае используется не полностью. Третий случай разрушения характерен для мало армированных элементов. Разрушение наступает при появлении нормальной трещины в растянутой зоне бетона, происходит физический разрыв растянутой арматуры. Для варианта разрушения исключения ЭТОГО нормах проектирования конструкций (СП 63) железобетонных рекомендуется принимать коэффициент армирования не меньше минимального (μ_{min} =0,1%).

При расчете изгибаемых железобетонных элементов по нормальным сечениям по предельным усилиям в предположении, что диаграмма деформирования бетона принимается как диаграмма жесткопластического тела (рис.1, сплошная линия), высота расчетной сжатой зоны бетона x определяется из уравнения предельного равновесия продольных усилий по формуле (1).

$$R_b \cdot b \cdot x = R_s \cdot A_s, \tag{1}$$

При выполнении условия (2) предполагается пластическое разрушение

$$\xi = \frac{x}{h_0} \le \xi_R; \qquad \sigma_s = R_s, \qquad (2)$$

где ξ_R — значение граничной относительной высоты сжатой зоны бетона предлагается определять по формуле (3)

$$\xi_R = \frac{\omega}{1 + \frac{\varepsilon_{s,el}}{\varepsilon_{b2}}},\tag{3}$$

где $\omega = 0.8$ для бетона класса до B60 включительно;

 $\varepsilon_{b2} = 0,0035; \ \varepsilon_{s,el} = \frac{R_s}{E_s}; \ R_s$ – расчетное сопротивления арматуры; E_s – модуль

упругости арматуры.

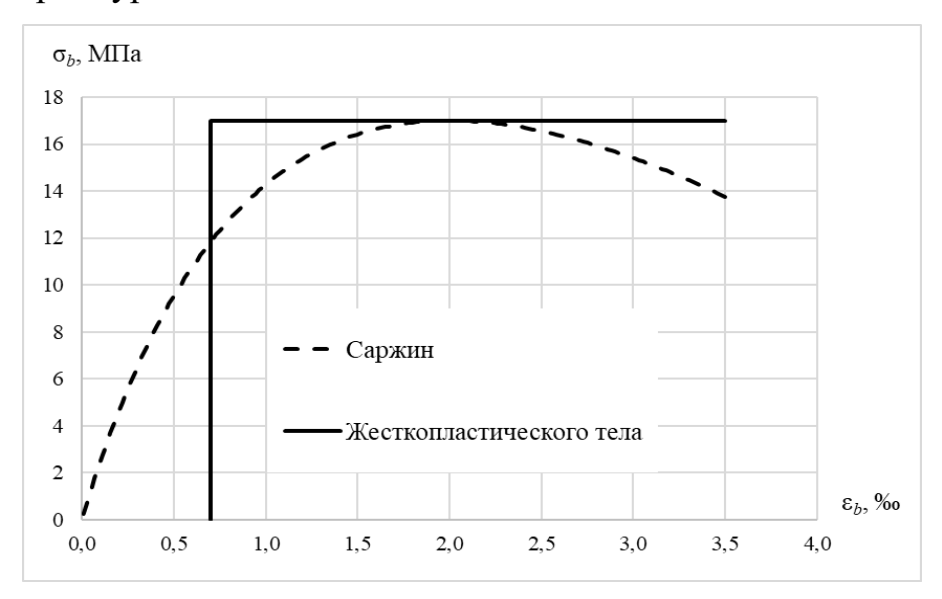


Рис. 1 – Диаграмма деформирования бетона класса В30

В этом случае условия прочности определяется по формулам (4) или (5):

$$M \le M_u = R_b \cdot b \cdot x \cdot (h_0 - 0.5 \cdot x), \tag{4}$$

$$M \le M_u = R_s \cdot A_s \cdot (h_0 - 0.5 \cdot x),$$
 (5)

Хрупкое разрушение предполагается, если выполняется условие (6):

$$\xi = \frac{x}{h_0} > \xi_R; \qquad \sigma_s < R_s, \tag{6}$$

В этом случае условия прочности, согласно нормам проектирования, записываются в виде условия (7):

$$M \le M_u = R_b \cdot b \cdot x_R \cdot (h_0 - 0.5 \cdot x_R) = R_b \cdot b \cdot h_0^2 \cdot \alpha_R, \tag{7}$$

где $\alpha_R = \xi_R \cdot (1 - 0, 5 \cdot \xi_R); \quad \alpha_m = \xi \cdot (1 - 0, 5 \cdot \xi).$

В Пособии к СП 63.13330 в случае хрупкого разрушения допускается несколько увеличить несущую способность по формуле (8):

$$M \le M_u = R_b \cdot b \cdot h_0^2 \cdot (0.7 \cdot \alpha_R + 0.3 \cdot \alpha_m),$$
 (8)

Зависимость несущей способности изгибаемого железобетонного элемента сечением 400×200 мм, из бетона класса B30 и арматурой класса A400 ($R_s = 340$ МПа) от различных коэффициентов армирования показана на графиках рис. 2.

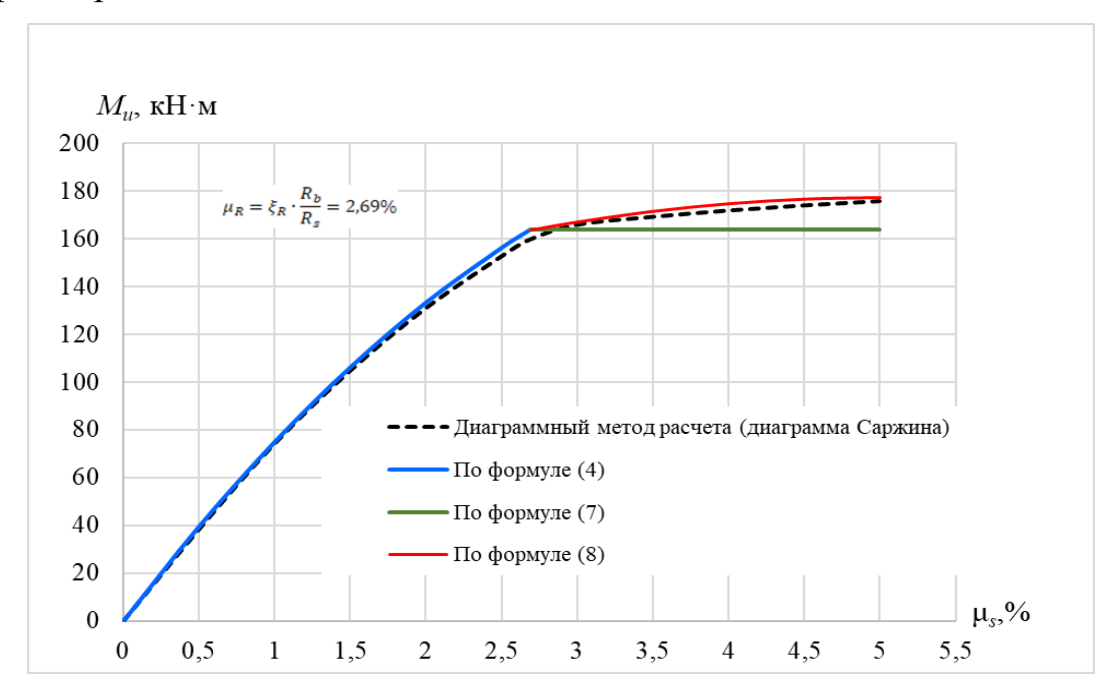


Рис. 2. – Зависимость несущей способности изгибаемого железобетонного элемента при различных коэффициентах армирования

Исходными данными для анализа обеспеченности деформационных и прочностных характеристик бетона являются 5000 диаграмм деформирования бетона и арматурной стали [17], полученные на основе результатов экспериментальных исследований при помощи метода Монте-Карло.

Для определения изменчивости деформационных и прочностных свойств бетона исходные данные были проанализированы при помощи методов математической статистики. Также, для анализа обеспеченности

коэффициента наполнения эпюры ω , граничной относительной высоты сжатой зоны бетона ξ_R и предельного коэффициента армирования μ_R (максимальный коэффициент армирования при котором напряжения в арматуре достигают предела текучести) для разных классов арматуры были выполнены расчеты изгибаемых железобетонных элементов сечением 200×400 мм диаграммным методом с использованием 5000 диаграмм деформирования бетона (до и после воздействия ЦЗО) и 5000 диаграмм деформирования арматуры классов A400 и A500 с использованием разработанной авторами компьютерной программы.

В данной работе были проанализированы следующие параметры: предельный коэффициент армирования μ_R , граничная относительная высота сжатой зоны бетона ξ_R , коэффициент наполнения эпюры ω , коэффициенты обеспеченности и обеспеченность этих параметров.

Коэффициент обеспеченности [18] K_{06} — отношение значения параметров, рассчитанных по вероятностному методу (с учетом и без учета ЦЗО и арматуры классов А400 и А500), к значению тех же параметров, определенных по СП 63 — формула (9):

$$K_{o6}(\omega) = \frac{\omega_{(Bep)}}{\omega_{(C\Pi 63)}}$$

$$K_{o6}(\xi_{R}) = \frac{\xi_{R(Bep)}}{\xi_{R(C\Pi 63)}}$$

$$K_{o6}(\mu_{R}) = \frac{\mu_{R(Bep)}}{\mu_{R(C\Pi 63)}}$$
(9)

где $\omega_{\text{(вер)}}$, $\xi_{R(\text{вер)}}$, $\mu_{R(\text{вер})}$ – коэффициент наполнения эпюры, граничная относительная высота сжатой зоны бетона и предельный коэффициент армирования, вычисленные вероятностным методом с использованием диаграммного метода расчета (с учетом и без учета ЦЗО и арматуры классов А400 и А500);

 $\omega_{\rm (CП~63)}$, $\xi_{R({\rm CП~63})}$, $\mu_{R({\rm CП~63})}$ — коэффициент наполнения эпюры, граничная относительная высота сжатой зоны бетона и предельный коэффициент армирования, определенные по нормам проектирования железобетонных конструкций СП 63.13330.2018.

Обеспеченность параметров коэффициента наполнения эпюры ω , граничной относительной высоты сжатого бетона ξ_R и предельного коэффициента армирования μ_R при различных средовых воздействиях (с учетом и без учета ЦЗО), рассчитанная по СП 63, определялась по формуле (10):

Обеспеченность(
$$\omega$$
) = $1 - \frac{1}{\sigma\sqrt{2\pi}}e^{\frac{-(\omega_{\text{СП63}} - \overline{\omega})^2}{2\sigma^2}}$ Обеспеченность(ξ_R) = $1 - \frac{1}{\sigma\sqrt{2\pi}}e^{\frac{-(\xi_{R,\text{СП63}} - \overline{\xi_R})^2}{2\sigma^2}}$, (10)

где σ – среднеквадратическое отклонение указанных параметров.

Анализ результатов

Коэффициент наполнения эпюры ω , принятый в нормах проектирования железобетонных конструкций равным 0,8 для бетонов классом до В60 включительно, характеризует упругопластические свойства бетона. Значения коэффициента наполнения эпюры ω определялись как случайные величины. Случайное значение фактической высоты сжатой зоны бетона $x_{\varphi,i}$ определялось из гипотезы плоских сечений с использованием случайных значений предельных деформаций бетона $\varepsilon_{b2,i}$ и деформаций арматуры $\varepsilon_{s,el,i}$. Диаграммным методом по специально разработанной компьютерной программе вычислялись 5000 значений усилий в сжатом бетоне до и после воздействия ЦЗО и в растянутой арматуре класса А400 и

A500, и рассчитывались значения граничной высоты сжатой зоны бетона как случайной величины по формуле (11):

$$x_{R,i} = \frac{N_{b,i}}{R_{b,i} \cdot b},\tag{11}$$

где $N_{b,i}$ – усилия в сжатом бетоне (случайная величина);

 $R_{b,i}$ – случайное значение призменной прочности бетона;

b – ширина сечения изгибаемого железобетонного элемента.

Случайная величина коэффициента наполнения эпюры определялась (рис.3) по формуле (12):

$$\omega_i = \frac{x_{R,i}}{x_{\phi,i}},\tag{12}$$

Средние, нормативные и расчетные значения коэффициентов наполнения эпюры до и после воздействия ЦЗО, арматуры классов А400 и А500 определялись по формулам (13)–(15).

$$\omega_{\rm cp} = \frac{\sum \omega_i}{n},\tag{13}$$

$$\omega_n = (1 - 1, 64 \cdot V) \cdot \omega_{\rm cp},\tag{14}$$

$$\omega_{\rm p} = (1 - 3,00 \cdot V) \cdot \omega_{\rm cp},\tag{15}$$

Кривые плотности распределения коэффициентов наполнения эпюры ω до и после воздействия ЦЗО представлены на рис. 4. Воздействие ЦЗО уменьшает значения параметра ω, о чем свидетельствует смещение кривых распределения влево.

Средние, нормативные и расчетные значения коэффициентов наполнения эпюры ω, определенные вероятностным методом, приведены в таблице 1. Воздействие переменного замораживания и оттаивания бетона привело к понижению средних значений коэффициентов наполнения эпюры на 8,2% и к уменьшению коэффициента вариации с 4,56% до 3,91%. Поэтому

расчетные значения коэффициентов наполнения эпюры после воздействия попеременного замораживания и оттаивания бетона, определенные по формуле (6), снизились меньше на 6,1%.

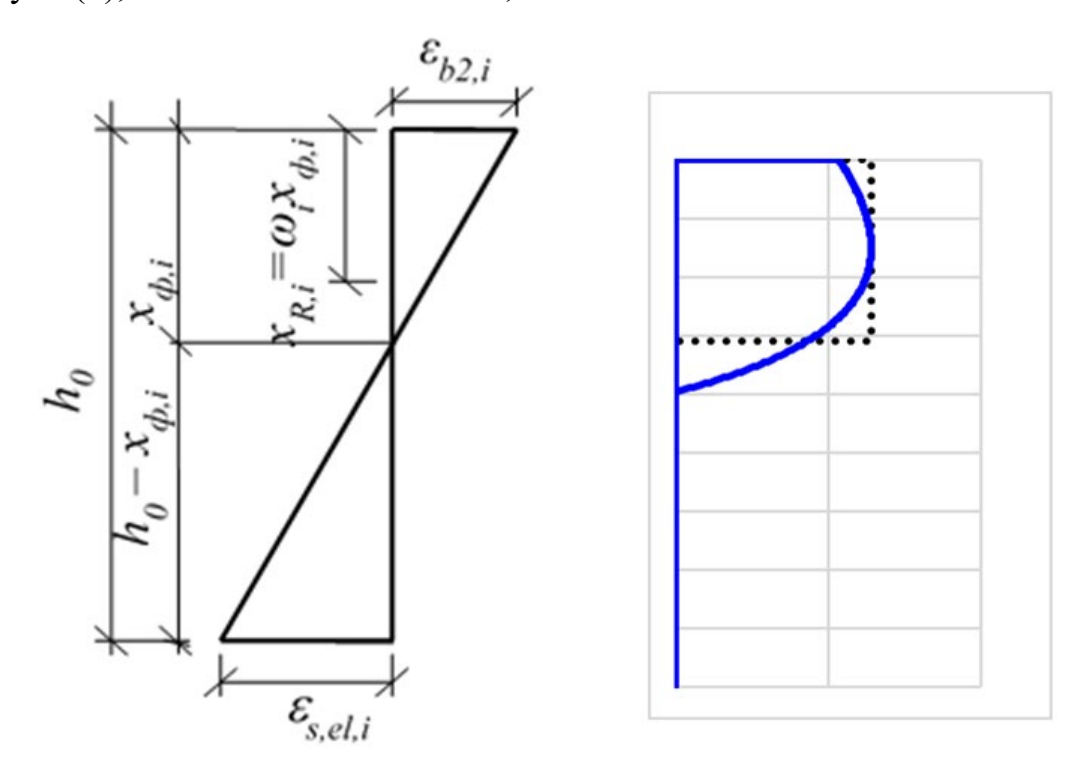


Рис. 3. — Распределение деформаций по рабочей высоте сечения и распределение напряжений по высоте сжатой зоны бетона (определялось с применением диаграммы деформирования бетона Саржина)

Коэффициенты обеспеченности коэффициентов наполнения эпюры ω до и после воздействия ЦЗО бетона приведены в таблице 2. Воздействие ЦЗО бетона привело к снижению коэффициента обеспеченности ω для расчетного значения на 6,2%, а для среднего значения на 8,3%. Это можно объяснить снижением коэффициента вариации с 4,56% до воздействия ЦЗО до 3,91% – после воздействия ЦЗО. Значение обеспеченности коэффициентов наполнения эпюры ω (СП 63), определяемой по формуле (10), приведенные таблице 3, очень малы. Воздействие переменного замораживания и оттаивания бетона еще больше снизили обеспеченность коэффициентов наполнения эпюры ω.

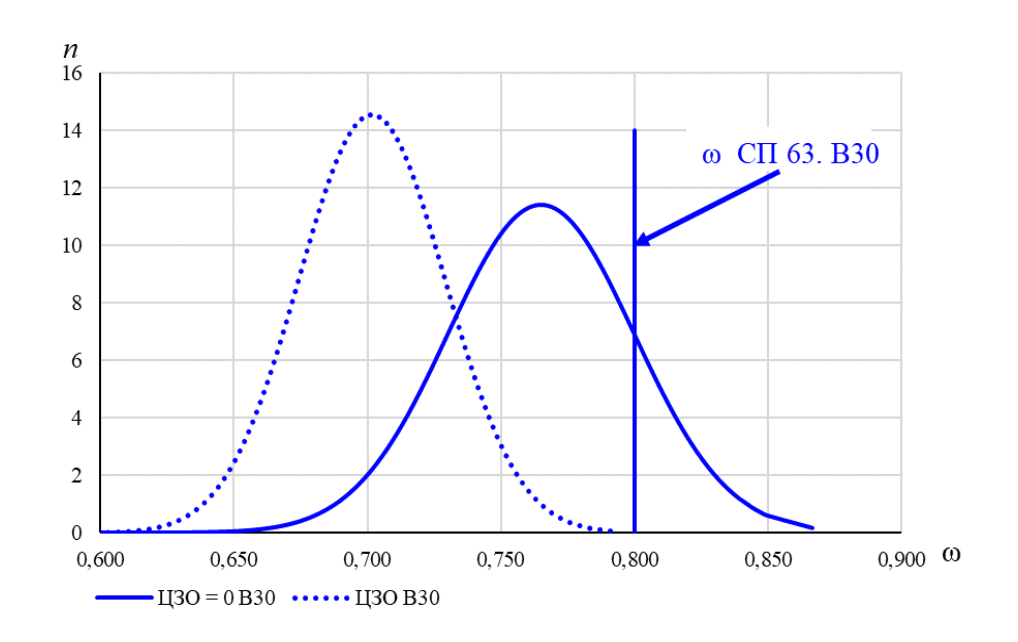


Рис. 4. – Кривые плотности распределения вероятности коэффициента наполнения эпюры ω

Таблица 1 Средние, нормативные и расчетные значения коэффициентов наполнения эпюры ω до и после ЦЗО

	<u> </u>	ЦЗО
ω_{cp}	0,765	0,702
V, %	4,56	3,91
ω,n	0,708	0,657
ω _{,p}	0,660	0,620
ω СП63	0),8

Таблица 2 Коэффициенты обеспеченности коэффициентов наполнения эпюры ω до и после воздействия ЦЗО бетона

	ЦЗО=0	ЦЗО
Средние	0,9564	0,8771
Нормативные	0,8848	0,8209
Расчетные	0,8255	0,7743

Таблица 3

Обеспеченности коэффициентов наполнения эпюры ω до и после воздействия ЦЗО бетона

	ЦЗО=0	ЦЗО
Обеспеченность	0,1585	0,0002

Случайное значение граничной относительной высоты сжатой зоны бетона $\xi_{R,i}$ определялось по формуле (16)

$$\xi_{R,i} = \frac{x_{R,i}}{h_0},\tag{16}$$

Средние, нормативные и расчетные значения граничной относительной высоты сжатой зоны бетона ξ_R для разных классов арматуры до и после воздействия ЦЗО определялись по формулам (17)-(19):

$$\xi_{\rm R,cp} = \frac{\sum \xi_{R,i}}{n},\tag{17}$$

$$\xi_{R,n} = (1 - 1, 64 \cdot V) \cdot \xi_{R,cp},$$
(18)

$$\xi_{R,p} = (1 - 3,00 \cdot V) \cdot \xi_{R,cp},$$
(19)

Средние, нормативные и расчетные значения граничной относительной высоты сжатой зоны бетона ξ_R для разных классов арматуры до и после воздействия ЦЗО представлены в таблице 4. На графиках рис. 5 показаны кривые плотности распределения вероятности граничной относительной высоты сжатой зоны бетона ξ_R для разных классов арматуры A400 и A500 до и после воздействия ЦЗО. Воздействие ЦЗО приводит к снижению значений ξ_R , о чем свидетельствует смещение кривой распределения влево. Значение коэффициента вариации ξ_R после ЦЗО меняется незначительно для арматуры класса A400 (2,2 %) и на 11,6 % при арматуре класса A500. Значения ξ_R вычисленные вероятностным методом значительно ниже, чем при расчете по нормам. Влияние ЦЗО приводит к еще большему снижению значений ξ_R . Это связано с тем, что при расчете по СП63 ξ_R напрямую зависит от величины ϵ_{b2} ,

которая, как была показано ранее, принята как средняя величина. Также, ξ_R зависит и от ω , которое также завышено в нормах.

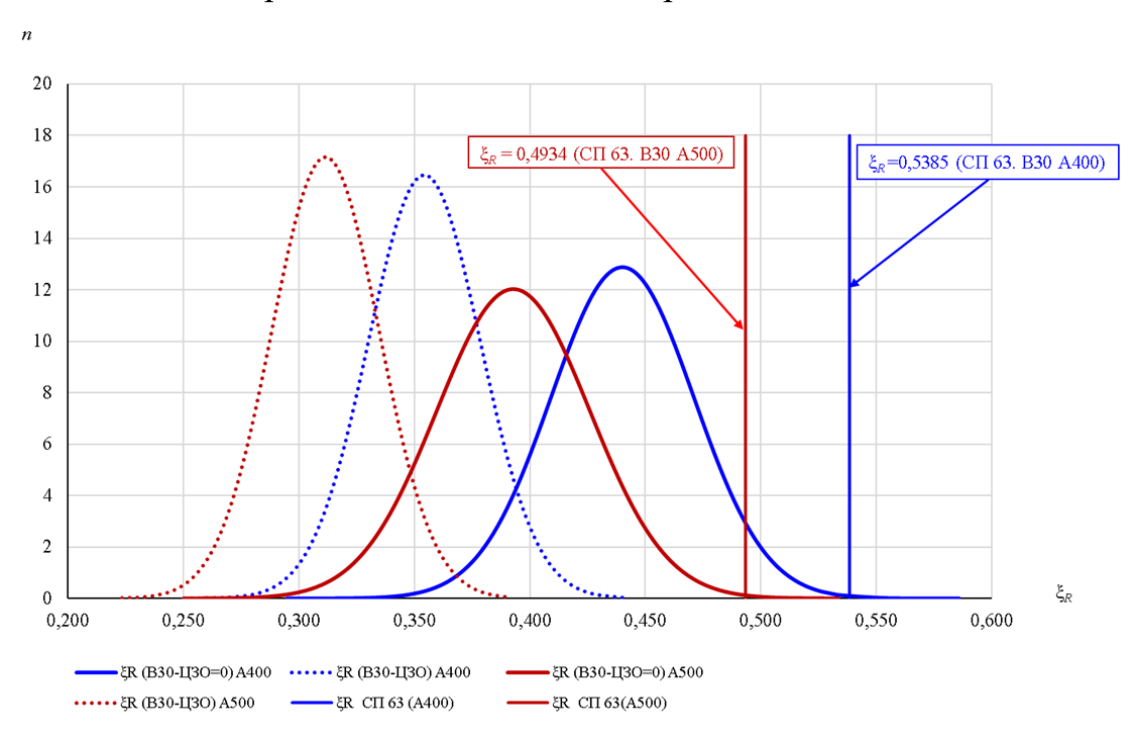


Рис. 5. – Кривые плотности распределения вероятности граничной относительной высоты сжатой зоны бетона ξ_R

Таблица 4 Средние, нормативные, расчетные значения ξ_R и коэффициент вариации до и после ЦЗО для разных классов арматуры

	Класс бетона В30			
	$R_s = 340 \text{ M}\Pi a$		$R_s = 435 \text{ M}\Pi a$	
	ПЗО = 0	ЦЗО	ПЗО = 0	ЦЗО
$\xi_{R,\mathrm{cp}}$	0,4401	0,3543	0,3928	0,3115
V, %	7,04%	6,84%	8,45%	7,47%
$\xi_{R,n}$	0,3893	0,3145	0,3384	0,2733
$\xi_{R,p}$	0,3471	0,2816	0,2933	0,2417
ξ _R CΠ63	0,5385		0,4	934

Значения коэффициентов обеспеченности расчетных значений граничной относительной высоты сжатой зоны бетона ξ_R , приведены в таблице 5. В таблице 6 приведены значения обеспеченностей ξ_R по нормам

проектирования (СП 63). Коэффициенты обеспеченности граничной относительной высоты сжатой зоны бетона ξ_R снижается после воздействия ЦЗО. Обеспеченность граничной относительной высоты сжатой зоны бетона ξ_R после ЦЗО по нормам проектирования железобетонных конструкций становится равной нулю. Все это подтверждает ранее сделанные выводы о том, что расчет по нормам значительно завышает значения ξ_R . При этом, для расчетных, нормативных и средних значений с повышением класса арматуры происходит снижение обеспеченности и коэффициента обеспеченности ξ_R .

Таблица 5 Коэффициент обеспеченности ξ_R для бетона класса ВЗО до и после ЦЗО для арматуры класса А400 и А500

Класс арматуры	<i>К</i> ЦЗО=0	К ЦЗО
A400	0,645	0,523
A500	0,594	0,490

Таблица 6 Обеспеченности ξ_R для бетона класса ВЗО до и после ЦЗО для арматуры класса А400 и А500

Класс арматуры	<i>К</i> ЦЗО=0	К ЦЗО
A400	0,0007481	0,000000
A500	0,001214	0,000000

Значение случайной величины предельного коэффициента армирования $\mu_{R,i}$ определялось по формуле (20):

$$\mu_{R,i} = \frac{N_{b,i}}{R_{s,i} \cdot b \cdot h_0} \tag{20}$$

где $N_{b,i}$ — случайное значение усилий в сжатом бетоне, определенном диаграммным методом, при случайных значениях деформаций $\varepsilon_{b2,i}$, $\varepsilon_{s,el,i}$ и призменной прочности $R_{b,i}$;

 $R_{s,i}$ — случайное значение расчетного сопротивления арматуры.

Средние, нормативные и расчетные значения предельного коэффициента армирования μ_R для разных классов арматуры до и после воздействия ЦЗО определялись по формулам (21)-(23):

$$\mu_{R,cp} = \frac{\sum \mu_{R,i}}{n},\tag{21}$$

$$\mu_{R,n} = (1 - 1,64 \cdot V) \cdot \mu_{R,cp},$$
(22)

$$\mu_{R,p} = (1 - 3,00 \cdot V) \cdot \mu_{R,cp},$$
(23)

Значения и кривые плотности распределения вероятности предельного коэффициента армирования μ_R для разных классов арматуры представлены в таблице 7 и на рис. 6. После воздействия ЦЗО все значения μ_R снижаются. Средние значения предельного коэффициента армирования μ_R , вычисленные вероятностным методом, до ЦЗО оказались немного больше, чем при расчете по нормам (СП 63). Нормативные и расчетные значения оказались значительно меньше значений, рекомендуемых нормами проектирования железобетонных конструкций. Воздействие ЦЗО приводит к значительному снижению значений коэффициентов предельного армирования μ_R .

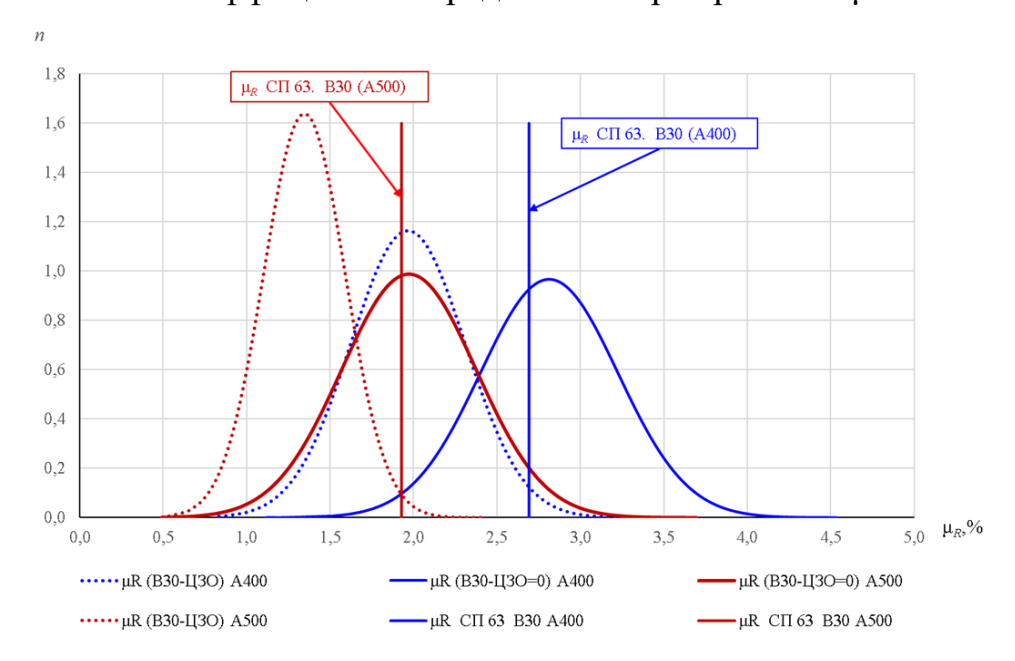


Рис. 6. – Кривые плотности распределения вероятности предельного коэффициента армирования μ_R для разных классов арматуры

Таблица 7

Средние, нормативные, расчетные значения предельного коэффициента армирования μ_R (%) и коэффициент вариации до и после ЦЗО для разных классов арматуры

	Класс бетона В30			
	A400		A400 A500	
	ЦЗО = 0	ЦЗО	Ц3О = 0	ЦЗО
$\mu_{R,\mathrm{cp}}$	2,813	1,967	1,972	1,346
V, %	14,67	17,43	20,48	18,49
$\mu_{R,n}$	2,136	1,404	1,310	0,947
$\mu_{R,p}$	1,575	0,938	0,761	0,615
μ _R СП63.	2,692		1,	928

Значения расчетных значений коэффициента обеспеченности предельного коэффициента армирования μ_R приведены в таблице 8. Для средних значений до воздействия ЦЗО коэффициент обеспеченности для арматуры класса А400 равен 1,05, а для арматуры класса А500 — 1,02. Для нормативных и расчетных величин значения коэффициента обеспеченности предельного коэффициента армирования μ_R значительно меньше единицы. Для арматуры класса А500 коэффициенты обеспеченности оказываются несколько меньше, чем для А400. Для расчетных величин для арматуры класса А400 коэффициент обеспеченности μ_R снизился после ЦЗО на 40,6%, а для арматуры класса А500 на 19,2%.

Величины обеспеченности μ_R для бетона класса В30 до и после Ц3О для арматуры класса А400 и А500 представлены в таблице 9. Воздействия Ц3О существенно снижает обеспеченность значений предельного коэффициента армирования μ_R , определенного по нормам проектирования (СП 63).

Таблица 8 Коэффициент обеспеченности μ_R для бетона класса В30 до и после ЦЗО для

Класс арматуры	<i>К</i> ЦЗО=0	К ЦЗО
A400	0,585	0,348
A500	0.395	0.319

арматуры класса А400 и А500

Таблица 9

Обеспеченности μ_R для бетона класса В30 до и после ЦЗО для арматуры класса А400 и А500

Класс арматуры	<i>К</i> ЦЗО=0	К ЦЗО
A400	0,6149	0,0171
A500	0,5435	0,0084

Выводы

- 1. Выполнение требований федерального закона «Технический регламент о безопасности зданий и сооружений» на стадии принятия проектных решений сопряжено с использованием нормативных положений, содержащих ряд условных предпосылок и ограничений, учитывающих специфику сопротивления конструктивных железобетонных элементов и упрощающих расчет.
- 2. Анализ статистических закономерностей используемых параметров и функциональных связей подтверждает их существенную изменчивость и, как следствие, вероятные колебания (снижение) проектного уровня надежности прочности изгибаемых железобетонных конструкций при высоких коэффициентах армирования.
- 3. Моделирование изменчивости конструктивных коэффициентов изгибаемых железобетонных элементов при ЦЗО с использованием статистически представительных данных кинетики физических и конструктивных параметров бетона подтверждает резкое снижение их

обеспеченности и указывает на необходимость дополнительных целенаправленных исследований в этом направлении.

Работа выполнена при финансовой поддержке гранта СПбГАСУ на 2025 год

Литература

- 1. Huo Y., Sun H., Lu D., Chen Z., Yingzi Y. Mechanical properties of concrete at low and ultra-low temperatures a review // Journal of Infrastructure Preservation and Resilience. 2022. V. 3, № 1. P. 20.
- 2. Li X., Qin L., Guo L., Li Y. Research on the mechanical properties of concrete under low temperatures // Materials. 2024. V. 17, № 8. P. 1882.
- 3. Истомин А.Д., Назаров Т.А. Влияние природных циклов замораживания оттаивания на прочность и деформативность бетона // Известия высших учебных заведений. Технология текстильной промышленности. 2019. № 3(381). С. 52-56.
- 4. Подвальный А.М. О концепции обеспечения морозостойкости бетона в конструкциях зданий и сооружений // Строительные материалы. 2004. № 6. С. 4-6.
- 5. Карпенко Н.И., Карпенко С.Н., Ярмаковский В.Н., Ерофеев В.Т. О современных методах обеспечения долговечности железобетонных конструкций // Academia. Архитектура и строительство. 2015. № 1. С. 93-102.
- 6. Попов В.М., Герфанова О.А., Морозов В.И. Долговечность железобетонных конструкций // Бетон и железобетон взгляд в будущее: Научные труды III Всероссийской (II Международной) конференции по бетону и железобетону (Москва, 12-16 мая 2014 года). Т. 3. М.: Изд-во Национального исследовательского Московского государственного строительного университета, 2014. С. 356-366.

- 7. Истомин А.Д., Петрова В.А. Остаточные деформации бетона железобетонных элементов при циклическом замораживании и оттаивании // Строительство и реконструкция. 2022. № 3(101). С. 23-31.
- 8. Пинус Б.И., Пинус Ж.Н., Хомякова И.В. Изменение конструктивных свойств бетонов при охлаждении и замораживании // Вестник Иркутского государственного технического университета. 2015. № 2(97). С. 111-116.
- 9. Истомин А.Д., Александров Е.Н., Огурцова Л.П. Влияние способа водонасыщения бетона и отрицательной температуры на его деформативнопрочностные характеристики // Наука и техника в дорожной отрасли. 2018. № 4(86). С. 40-42.
- 10. Добшиц Л.М. Физико-математическая модель разрушения бетонов при попеременном замораживании и оттаивании // Жилищное строительство. 2017. № 12. С. 30-36.
- 11. Карпенко Н.И., Карпенко С.Н., Ярмаковский В.Н. О построении диаграммного метода расчета стержневых железобетонных конструкций при отрицательных температурах // Полярная механика. 2016. № 3. С. 181-191.
- 12. Карпенко Н.И., Ярмаковский В.Н., Кадиев Д.З. К разработке и развитию физико-механического моделирования прочности и деформативности бетонов при воздействии низких (до минус 70 °C) отрицательных температур // Фундаментальные, поисковые и прикладные исследования Российской академии архитектуры и строительных наук по научному обеспечению развития архитектуры, градостроительства и строительной отрасли Российской Федерации в 2018 году. Т. 2. М.: АСВ, 2019. С. 273-283.
- 13. Попов В.М., Плюснин М.Г. Экспериментальное исследование диаграмм σ ε бетона при одноосном сжатии и влияния на их форму циклов

замораживания и оттаивания // Вестник гражданских инженеров. 2020. № 4(81). С. 80-88.

- 14. Несветаев Г.В., Корянова Ю.И., Сухин Д.П. О влиянии условий выдерживания при возведении массивных монолитных железобетонных конструкций на прочность бетона // Инженерный вестник Дона, 2021. №10 URL: ivdon.ru/ru/magazine/archive/2021/7228.
- 15. Несветаев Г.В., Корянова Ю.И., Чепуренко А.С., Сухин Д.П. О влиянии некоторых технологических факторов на качество монолитных железобетонных конструкций // Инженерный вестник Дона. 2021. № 11. URL: ivdon.ru/ru/magazine/archive/n11y2021/7256.
- 16. Несветаев Г.В., Догова А.В., Постой Л.В. К вопросу оценки морозостойкости бетонов по критерию прочности // Инженерный вестник Дона. 2019. № 7. URL: ivdon.ru/ru/magazine/archive/N7y2019/6106.
- 17. Попов В.М., Пинус Б.И., Плюснин М.Г., Кондратьева Л.Н. Влияние изменчивости деформационных характеристик бетона на надежность сжатых железобетонных конструкций // Жилищное строительство. 2025. № 1-2. С. 91-95.
- 18. Исайкин А.Я. Оценка надежности статически неопределимых железобетонных конструкций на основе метода предельного равновесия. Дис. ... д-ра техн. наук. 05.23.01. М. 2000. 405 с.

References

- 1. Huo Y., Sun H., Lu D., Chen Z., Yingzi Y. Journal of Infrastructure Preservation and Resilience. 2022. V. 3, № 1. P. 20.
 - 2. Li X., Qin L., Guo L., Li Y. Materials. 2024. V. 17, № 8. P. 1882.
- 3. Istomin A.D., Nazarov T.A. Izvestiya vysshikh uchebnykh zavedeniy. Tekhnologiya tekstil'noy promyshlennosti. 2019. № 3(381). Pp. 52-56.
 - 4. Podvalny A.M. Stroitel'nye materialy. 2004. № 6. Pp. 4-6.

- 5. Karpenko N.I., Karpenko S.N., Yarmakovsky V.N., Yerofeev V.T. Academia. Arkhitektura i stroitel'stvo. 2015. № 1. Pp. 93-102.
- 6. Popov V.M., Gerfanova O.A., Morozov V.I. Beton i zhelezobeton vzglyad v budushcheye. Nauchnyye trudy III Vserossiyskoy (II Mezhdunarodnoy) konferentsii po betonu i zhelezobetonu (Moskva, 12-16 maya 2014 goda). [Concrete and reinforced concrete a look into the future. Scientific papers of the III All-Russian (II International) conference on concrete and reinforced concrete (Moscow, May 12-16, 2014]. V. 3. M.: Izd-vo Natsional'nogo issledovatel'skogo Moskovskogo gosudarstvennogo stroitel'nogo universiteta, 2014. Pp. 356-366.
- 7. Istomin A.D., Petrova V.A. Stroitel'stvo i rekonstruktsiya. 2022. № 3(101). Pp. 23-31.
- 8. Pinus B.I., Pinus Zh.N., Khomyakova I.V. Vestnik Irkutskogo gosudarstvennogo tekhnicheskogo universiteta. 2015. № 2(97). Pp. 111-116.
- 9. Istomin A.D., Aleksandrov Ye.N., Ogurtsova L.P. Nauka i tekhnika v dorozhnov otrasli. 2018. № 4(86). Pp. 40-42.
 - 10. Dobshits L.M. Zhilishchnoye stroitel'stvo. 2017. № 12. Pp. 30-36.
- 11. Karpenko N.I., Karpenko S.N., Yarmakovsky V.N. Polyarnaya mekhanika. 2016. № 3. Pp. 181-191.
- 12. Karpenko N.I., Yarmakovsky V.N., Kadiev D.Z. Fundamental'nyye, poiskovyye i prikladnyye issledovaniya Rossiyskoy akademii arkhitektury i stroitel'nykh nauk po nauchnomu obespecheniyu razvitiya arkhitektury, gradostroitel'stva i stroitel'noy otrasli Rossiyskoy Federatsii v 2018 godu. V. 2. M.: ASV, 2019. Pp. 273-283.
- 13. Popov V.M., Plyusnin M.G. Vestnik grazhdanskikh inzhenerov. 2020. № 4(81). Pp. 80-88.
- 14. Nesvetaev G.V., Koryanova Yu.I., Suxin D.P. Inzhenerny'j vestnik Dona, 2021. №10. URL: ivdon.ru/ru/magazine/archive/2021/7228.

- 15. Nesvetaev G.V., Koryanova Y.I., Chepurnenko A.S., Sukhin D.P. Inzhenernyj vestnik Dona. 2021. № 11. URL: ivdon.ru/ru/magazine/archive/n11y2021/7256.
- 16. Nesvetaev G.V., Dolgova A.V., Postoy L.V. Inzhenernyj vestnik Dona. 2021. № 7. URL: ivdon.ru/ru/magazine/archive/N7y2019/6106.
- 17. Popov V.M., Pinus B.I., Plyusnin M.G., Kondratyeva L.N. Zhilishchnoye stroitel'stvo. 2025. № 1-2. Pp. 91-95.
- 18. Isaikin A.YA. Otsenka nadezhnosti staticheski neopredelimykh zhelezobetonnykh konstruktsiy na osnove metoda predel'nogo ravnovesiya [Assessment of the reliability of statically indeterminate reinforced concrete structures based on the limit equilibrium method]. Dis. ... d-ra tekhn. nauk. 05.23.01. M. 2000. 405 p.

Дата поступления: 13.09.2025

Дата публикации: 25.10.2025